

## ΑΝΑΚΟΙΝΩΣΕΙΣ ΜΗ ΜΕΛΩΝ

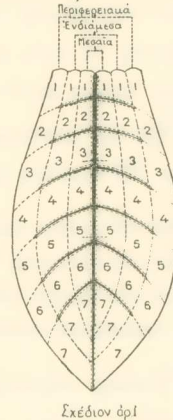
**ΦΥΤΟΧΗΜΕΙΑ.**— Κατανομὴ τῆς νικοτίνης εἰς τὸ καπνόφυτον\*. Μέρος II, ὥπλο **Θαλῆς B.** Ἀνδρεάδου καὶ Ἐφορέατον I. Τούλ, ἐν συνεργασίᾳ καὶ μετὰ τῶν **Ε. Μπινοπούλου**, χημικοῦ καὶ **I. Τσιροπούλου**, γεωπόνου. Ἀνεκοινώθη ὥπλο κ. Ἐμμ. I. Ἐμμιανουήλ.

Εἰς προηγουμένην ἡμέραν μελέτην<sup>1</sup>, ἔξητάσαμεν τὴν κατανομὴν τῆς νικοτίνης ἐπὶ τῶν διαφόρων δργάνων τοῦ καπνοφύτου. Η παροῦσα ἐργασία περιλαμβάνει ἐν περιλήψῃ τὰ πορίσματα τῆς ἑρεύνης ἡμέραν ἐπὶ τοῦ τρόπου, κατὰ τὸν ὄποιον κατανέμεται ποσοτικῶς ἡ νικοτίνη ἐπὶ τῶν διαφόρων ίστων καὶ σημείων ἐνὸς καπνοφύλλου.

Διὰ τὴν ἔκτελεσιν τῆς ἐργασίας ταύτης ἐφηρομόσαμεν τὸ κάτωθι σύστημα: Ἐλαμβάνοντο φύλλα εἰς κατάστασιν δριμάνσεως, μεγάλα εἰς μέγεθος (3<sup>α</sup> χέρια), ἐκ φυτῶν πλουσίων εἰς νικοτίνην (ποικιλία Μπασμᾶ Σερρῶν), τῶν ὄποιων ἔκαστον ἐτέμνετο διὰ λεπτοῦ μαχαιριδίου εἰς 69 τεμάχια (συμφώνως πρὸς τὸ ὅπ' ἀριθ. 1 σχέδιον), τὰ ὄποια κατόπιν συγχωνεύσεως τῶν εἰς θέσιν ἐναντιομόρφου συμμετρίας ἀμφοτέρωθεν τῆς κεντρικῆς νευρώσεως τοῦ φύλλου εὑρισκομένων καθὼς καὶ τῶν τῶν πλαγίων νευρώσεων, περιωρίζοντο εἰς 28, ἥτοι 21 τεμάχια παρεγχύματος, 3 τεμάχια κεντρικῆς νευρώσεως καὶ 4 δείγματα πλαγίων νευρώσεων.

Περὶ τοῦ τρόπου τῶν ἐπενεκτέων τομῶν<sup>2,3</sup> καθωδηγήθημεν ἐν μέρει μὲν ἐκ δεδομένων τῆς φυσιολογίας τοῦ καπνοφύτου, κυρίως δὲ ἐκ τῆς ἀνατομικῆς διατάξεως τῶν ίστων τοῦ φύλλου καὶ τῶν συμπερασμάτων προηγουμένων μας μελετῶν<sup>4</sup>. Ὡς κατευθυντήριοι καὶ περιορίζουσαι γραμμαὶ ἐλήφθησαν: 1<sup>ον</sup> ἡ κεντρικὴ νεύρωσις, 2<sup>ον</sup> αἱ πλάγιαι νευρώσεις καὶ 3<sup>ον</sup> ἡ περιφέρεια τοῦ φύλλου. Ἐπειδὴ τὰ διάφορα τμῆματα τῶν νευρώσεων καὶ τοῦ παρεγχύματος ἐνὸς φύλλου ἦσαν ὑπεράγαν μικρά, μὴ ἀρκοῦντα διὰ τὴν ἀνάλυσιν, ἐχρησιμοποιήσαμεν πολλὰ φύλλα (περὶ τὰ 200), ὅμοια πρὸς ἀλλήλα ἀπὸ πάσης ἀπόψεως, τῶν ὄποιων ἔκαστον τμῆμα συνεχωνεύετο μὲ τὸ ἀντίστοιχον τοιοῦτον τῶν ἀλλων φύλλων. Πρὸ τοῦ τεμαχισμοῦ τὰ φύλλα διηροῦντο εἰς δύο ἵσας καὶ ὅμοιογενεῖς μερίδας, τῆς μιᾶς τῶν ὄποιων τὰ φύλλα ἐτέμνοντο ἀμέσως, «χλωρὸς» καὶ ἔξηραίνοντο διὰ τοῦ ταχυτέρου δυνατοῦ τρόπου, τῆς δὲ ἀλληλῆς ἀφήνοντο νὰ ἔχρανθῶσι βαθμηδὸν ὄλοκληρα κατὰ τὸν συνήθη τρόπον. Διὰ νὰ παρακολουθήσωμεν καλλίτερον τὴν ἔξέλιξιν τοῦ ἀλκαλοειδοῦς

Σχέδιον παρετάνον τὸν τρόπον τῆς τοῦ απνοφύλλου



\* TH. ANDREADIS, ER. TOOLE und Mitarbeiter. — Über die Verteilung des Nicotins, auf der Oberfläche des Tabakblattes. Ἐκ τοῦ Καπνολογικοῦ Ἰνστιτούτου.

έλάχθομεν ἐκτὸς τῶν τεχνικῶς ὥριμων φύλλων καὶ ἀλλα μὴ ὥριμάσαντα εἰσέτι «ἄωρα» καθὼς καὶ «ὑπερώριμα» τοιαῦτα, τὰ δποῖα ἐτεμαχίσαμεν ἀκριβῶς κατὰ τὸν αὐτὸν ὅς ἄνω τρόπον.

Τὸ σύνολον τῶν περιπτώσεων εἶχεν ἐν τέλει ὡς ἔξης:

I. Φύλλα ἄωρα	II. Φύλλα κανονικῶς ὥριμα	III. Φύλλα ὑπερώριμα
1. Χλωρὰ	1. Χλωρὰ	1. Χλωρὰ
2. Ἀποξηρανθέντα	2. Ἀποξηρανθέντα	2. Ἀποξηρανθέντα

Οἱ προσδιορισμοὶ τῆς νικοτίνης ἐγένοντο διὰ μικροχημικῆς μεθόδου, τὴν ὁποίαν ἐπεξειργάσθημεν πρὸ καιροῦ ἐπὶ τῇ βάσει τῆς τοῦ Rasmussen<sup>5</sup>.

Τὰ ἀποτελέσματα τῶν γενομένων ἀναλύσεων παρίστανται εἰς τὰ ἐν τῷ ὑπ' ἀριθ. 1 πίνακι διαγράμματα.

Ἐκ πρώτης ἥδη ὅψεως γίνεται δῆλον, ὅτι ἡ νικοτίνη εἰς τὰ διάφορα τμήματα τοῦ φύλλου παρουσιάζει μεγάλας διακυμάνσεις μὲν ὥριμαντας σταθεράς κατευθύνσεις. Αἱ παρατηρούμεναι, σχετικῶς μικραί, ἀνωμαλίαι ὀφείλονται προφανῶς εἰς λάθη, τὰ δποῖα γίνονται ἀναποφεύκτως κατὰ τὴν κοπήν τῶν φύλλων. Τὸ μέγιστον τῆς νικοτίνης παρατηρεῖται εἰς τὰ περιφερειακὰ τμήματα τῶν καπνοφύλλων καὶ κατ' ἔξοχὴν ἐκείνων τῆς αἰχμῆς τοῦ φύλλου («օύρά»), τὸ δὲ ἐλάχιστον εἰς τὰς νευρώσεις καὶ κατ' ἔξοχὴν εἰς τὸ πρὸς τὸν μίσχον τμῆμα τῆς κεντρικῆς νευρώσεως (παρέγχυμα, περιφερειακὸν τμῆμα ἀρ. 7 - νικοτίνη 4,8 %, κεντρικὴ νεύρωσις, τμῆμα ἀρ. 1 - νικοτίνη 0,1 %).

Ἐκ τῆς λεπτομεροῦς μελέτης τῶν διαγραμμάτων τούτων προκύπτουσι τ' ἀκόλουθα: Η νικοτίνη αὖξάνει γενικῶς εἰς τὸ καπνόφυλλον:

1<sup>ον</sup> ἀπὸ τοῦ μίσχου πρὸς τὴν αἰχμὴν τοῦ φύλλου

2<sup>ον</sup> ἀπὸ τῆς κεντρικῆς νευρώσεως πρὸς τὴν περιφέρειαν τοῦ φύλλου

3<sup>ον</sup> ἀπὸ τῶν ἀώρων φύλλων πρὸς τὰ ὥριμα, ἐν μέρει δὲ (εἰς τὰ ἀποξηρανθέντα) καὶ πρὸς τὰ ὑπερώριμα τοιαῦτα.

Ἐπίσης παρετηρήσαμεν αὔξησιν τῆς νικοτίνης ἀπὸ τῶν χλωρῶν πρὸς τὰ ἀποξηρανθέντα φύλλα, πλὴν τῶν ἀώρων τοιούτων, εἰς τὰ δποῖα εἰς πολλὰς περιπτώσεις παρατηρεῖται πτῶσις τῆς νικοτίνης. Τὸ ζήτημα τοῦ μεταβολισμοῦ τῆς νικοτίνης κατὰ τὴν ξήρανσιν παρουσιάζει ἴδιαίτερον ἐνδιαφέρον, δεδομένης μάλιστα τῆς διαστάσεως τῶν γνωμῶν, ἡ ὁποία ἐκδηλοῦται εἰς τὸ ζήτημα τοῦτο μεταξὺ τῶν συγγραφέων<sup>6-9</sup>. Τῆς ἐξετάσεως τοῦ ζητήματος τούτου ἐπελήφθημεν ἐπίσης προσδιορίζοντες τὴν νικοτίνην δι' ἀναγωγῆς οὐχὶ πρὸς τὴν ξηρὰν οὐσίαν, ἀλλὰ πρὸς τὸ ἀσβέστιον τῆς τέφρας, τὸ ὁποῖον προκειμένου περὶ ὀλοκλήρων φύλλων τυγχάνει παράγων ἀρκούντως σταθερός. Τὰ πορίσματα τῆς μελέτης ταύτης μὴ ἀποπερατωθείσης εἰσέτι, θὰ ἐκτεθῶσιν εἰς ἴδιαιτέραν δημοσίευσιν ἐν καιρῷ.

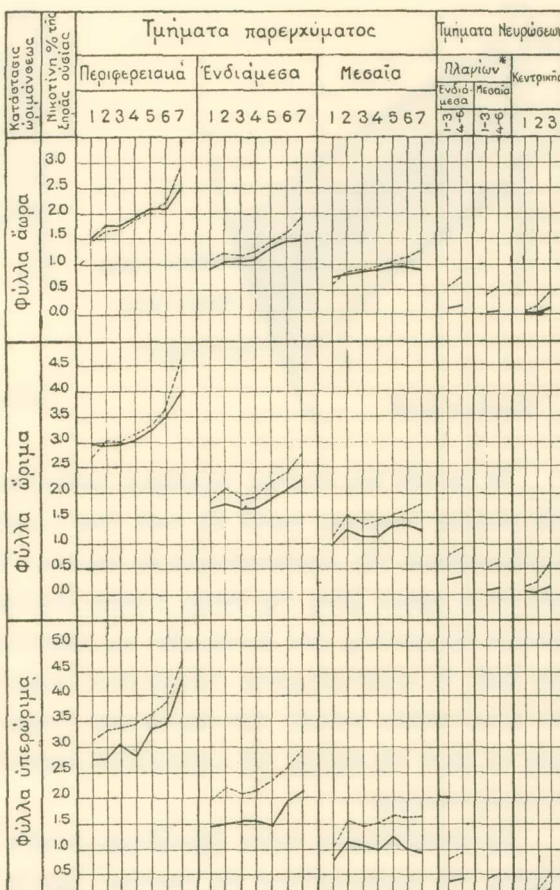
Ἐξεταστέον νῦν, ποῦ ὁφείλονται αἱ τοιαῦται διακυμάνσεις τῆς νικοτίνης ἐπὶ τοῦ καπνοφύλλου.

Ἐκ προγενεστέρων φυσιολογικῶν ἔρευνῶν ἀλλων συγγραφέων γνωρίζομεν ὅτι ἡ νικοτίνη εὑρίσκεται εἰς ἑλάχιστα ποσὰ ἐντὸς τοῦ βλαστάνοντος καπνοσπόρου<sup>10</sup> καὶ ὅτι αὐξάνει βαθμηδὸν ἐντὸς ὀλοκλήρου τοῦ φυτοῦ σὺν τῇ ἀναπτύξει αὐτοῦ<sup>11-19</sup>.

Τοῦτο καθ' ἡμᾶς δέον νὰ ἴσχύῃ καὶ ἐπέκτασιν καὶ διὰ τὴν ἀνάπτυξιν καὶ μορφολογικὴν ἐξέλιξιν τοῦ καπνοφύλλου, ἐὰν συσχετισθοῦν τὰ πορίσματα τῆς παρούσης μελέτης μὲ τὸ ἐν τῇ καπνοκαλλιεργητικῇ πράξει παρατηρούμενον, ὅτι ἡ ὥριμανσις τοῦ φύλλου ἀρχεταικατὰ πρῶτον ἐκ τῆς αἰγμῆς («οὐράξ») ἐξαπλουμένη βαθμηδὸν καὶ ἐπὶ τῆς ἀλληγενείας αὐτοῦ. Ἐὰν νῦν παρακολουθήσωμεν μετὰ προσοχῆς καὶ ἐν ταῖς λεπτομερείαις τὸν τρόπον κατὰ τὸν ὄποιον συντελεῖται ἡ ἐξάπλωσις τῆς ὥριμάνσεως ἐπὶ τῆς ἐπιφανείας τοῦ καπνοφύλλου, ἐκ τῆς ἐλαφρᾶς κιτρίνης ἀποχρώσεως, τὴν ὄποιαν βαθμηδὸν λαμβάνουσι τὰ ὥριμάζοντα σημεῖα τοῦ παρεγγύματος, θὰ εἴδωμεν ὅτι αὕτη ἐξελίσσεται κατὰ τρόπον συμπίπτοντα πρὸς τοὺς κανόνας τοὺς διέποντας τὴν γένεσιν τῶν κυττάρων τοῦ φύλλου καὶ τὴν μορφολογικὴν ἐξέλιξιν τῶν ἴστῶν του μέχρι τῆς ὥριμάνσεως. Τὰ κύτταρα γεννώμενα εἰς τὴν ζώνην τοῦ κυτταρογόνου ἴστοῦ ἐν μέρει μὲν ἀπωθοῦνται πρὸς τὴν περιφέρειαν τοῦ φύλλου, ἐν μέρει δὲ παρεντίθενται μεταξὺ

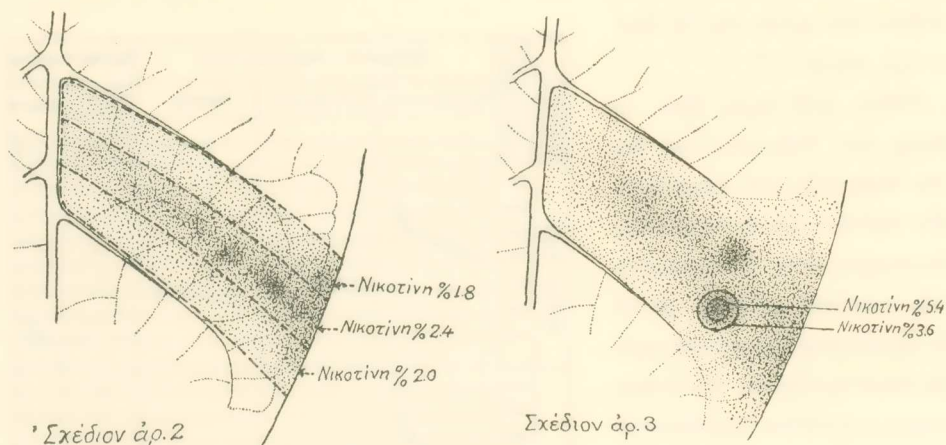
### Πίναξ ἀριθμ. 1

Περιευτικότης εἰς Νικοτίνην τῶν διαφόρων τυπωμάτων τοῦ καπνοφύλλου συμφώνως πρὸς σχέδιον τομῆς αριθμ. 1



\* Συγχώνευσις τριῶν τυπωμάτων νευρώσεων λόγῳ ἀνεπαρκείας τοῦ ὄλικου

τῶν διαφόρων νευρώσεων (πρωτογενῶν, δευτερογενῶν κλπ.), ἀντικαθιστώμενα ὑπὸ νεωτέρων τοιούτων. Συμφώνως γῦν πρὸς τὰ ἀνωτέρω, τὰ τεμάχια τοῦ ἴστοῦ τὰ ἀπαρτίζόμενα ἀπὸ διμάχδας παλαιοτέρων κυττάρων θὰ ἔδει νὰ εἶναι πλουσιώτερα εἰς νικοτίνην τῶν νεωτέρων εἰς ἡλικίαν τοιούτων, τὰ ὅποια εὑρίσκονται κατὰ μῆκος καὶ πλησίον τῶν διαφόρων νευρώσεων. Τὸν ἴσχυρισμὸν τοῦτον ἡδυνήθημεν πράγματι νὰ ἐπαληθεύσωμεν διὰ τῶν ἔξης πειραμάτων:



Τὸ μεταξὺ δύο πλαγίων νευρώσεων παρέγχυμα ἐκόψαμεν διὰ παραλλήλων πρὸς τὰς πλαγίας νευρώσεις τοῦδεν εἰς τρεῖς λαρίδας «ζώνας», ἐκάστης τῶν ὅποιων προσδιωρίσαμεν τὴν περιεκτικότητα εἰς νικοτίνην. Ἐκ τῶν ἀναλύσεων τούτων ἀπεδείχθη ὅτι ἡ μεσαία ζώνη, τῆς ὅποιας ὁ ἴστος εἶναι πάντοτε ὀριμότερος, τυγχάνει πλουσιωτέρα εἰς νικοτίνην τῶν ἐκατέρωθεν καὶ παραπλεύρως κειμένων τοιούτων (ἴδε σχέδιον ἀριθ. 2), παρατηρουμένης ταυτοχρόνως σαφοῦς ἀσυμμετρίας εἰς τὴν κατανομὴν τοῦ ἀλκαλοειδοῦς μεταξὺ τῶν ἐκατέρωθεν τμημάτων, τοῦ ἐνὸς ἔξ αὐτῶν, κειμένου πρὸς τὸ μέρος τῆς αἰχμῆς τοῦ καπνοφύλλου, παρουσιάζοντος μεγαλυτέρων περιεκτικότητα εἰς νικοτίνην.

Τὰ ἀποτελέσματα ταῦτα ἡδυνήθημεν ἀκριβέστερον νὰ ἐπαληθεύσωμεν προσδιορίζοντες τὴν περιεκτικότητα εἰς νικοτίνην λεπτῶν κυκλικῶν λωρίδων ἐκτεινομένων πέριξ τῶν «σημείων ὀριμάνσεως» τῶν παρουσιαζομένων ἐπὶ τῶν ὀρίμων χλωρῶν φύλλων, ὑπὸ μορφὴν κιτρίνων κυκλικῶν κηλίδων μεταξὺ δευτερογενῶν καὶ τριτογενῶν νευρώσεων. Τῇ βοηθείᾳ ἐνὸς φελλοτρύτου ἡδυνήθημεν νὰ διαχωρίσωμεν τὸ κέντρον ἐκάστης κηλίδος, τὸ ὅποιον παρουσιάζει τὸν ἐντονώτερον κίτρινον χρωματισμόν, ἀπὸ τοῦ περιβάλλοντος αὐτὸς κιτρινοπρασίνου δακτυλίου, συμφώνως πρὸς τὸ ὑπὸ ἀριθ. 3 σχέδιον. Τὸ ἀποτέλεσμα τοῦ πειράματος τούτου ἦτο, ὅτι τὸ κέντρον τῶν κηλίδων

ἀπεδείχθη πάντοτε πλουσιώτερον εἰς νικοτίνην τοῦ ἀμέσως πέριξ αὐτοῦ δακτυλίου καὶ ὅτι αἱ κηλίδες αὐταὶ τῆς ώριμάνσεως γενικῶς περιέχουσι τεράστια ποσὰ νικοτίνης, πολὺ μεγαλύτερα τῶν ἄλλων τμημάτων τοῦ φύλλου.

Κατόπιν τῶν ἀνωτέρω πειραμάτων δυνά-  
μενα συμπερασματικῶς νὰ ἀναφέρωμεν ὅτι  
ἡ νικοτίνη αὐξάνει ἐντὸς τῶν κυττάρων ἑκά-  
στου ἴστοῦ ἐκ παραλλήλου πρὸς τὴν φυσιο-  
λογικὴν ἔξελιξιν τῆς ἡλικίας αὐτοῦ, συμφώ-  
νως πρὸς τὸ σχέδιον ἀριθ. 4.

## ZUSAMMENFASSUNG

Es wird eingehend die Verteilung des Nicotins auf der gesamten Oberfläche des Tabakblattes untersucht entsprechend den Schnitt-Skizzen 1, 2, 3.

Nach den Analysergebnissen (Tabelle 1, Skizzen 2, 3) nimmt das Nicotin zu: 1. vom Stiel nach der Spitze des Blattes, 2. von der zentralen Nervatur nach dem Umfang des Blattes, 3. von den Nervaturen zweiter Ordnung nach dem dazwischen liegenden Parenchym, 4. von den Nervaturen dritter Ordnung nach dem dazwischen liegenden Parenchym, 5. von den unreifen zu den reifen und teilweise (bei den getrockneten) zu den überreifen Blättern und 6. von den grünen zu den getrockneten Blättern.

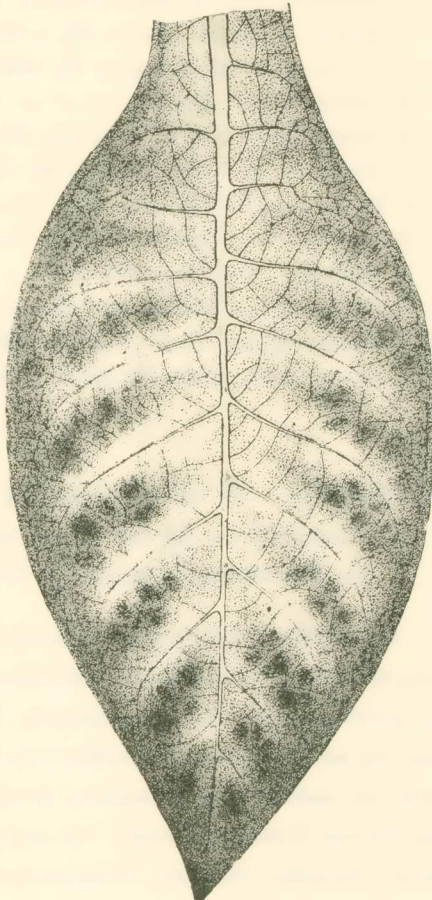
Es wird die theoretische Erklärung der beobachteten Verteilung des Alkaloids gegeben auf Grund der Gesetze der physiologischen Entwicklung der Gewebe des Tabakblattes.

Entsprechend der erhaltenen Resultate wird schliesslich schematisch die Verteilung des Nicotins auf der Oberfläche des Tabakblattes in der Skizze 4 dargestellt.

## ΒΙΒΛΙΟΓΡΑΦΙΑ

- Θ. ΑΝΔΡΕΑΔΗΣ, Ε. ΤΟΥΛΑ καὶ συνεργάται, *Πρακτικὰ Ἀκαδημίας Ἀθηνῶν*, 11, σ. 428, 1936.
- D. CICERONE Ε G. MAROCCHI, *Bol. tecn., 3, Istit. sper. tab. Scafati*, 1913.

Σχηματικὴ ἀπεικόνισις τῆς ιατρονομῆς τῆς νικοτίνης ἐπὶ τοῦ ιαπνοφύλλου.



Σχέδιον ἀρ. 4

3. C. PYRIKI UND DITTMAR, *Z. f. Unt. d. Lebensm.*, **61**, σ. 210, 1931.
4. Θ. ΑΝΔΡΕΑΔΗΣ ΚΑΙ Ε. ΤΟΥΛ, *'Arax. I. Kasn. 'Ivot.*, Δράμα, 1933.
5. H. RASMUSSEN, *Z. f. anal. Chem.*, **55**, σ. 81, 1916.
6. E. CHUARD UND R. MELLET, *Ch. Z.*, **35**, σ. 177, 1911, **36**, σ. 957, 1912.
7. H. VICKERY UND G. PUCHER, *Science*, **73**, σ. 397, 1929.
8. A. SMIRNOW UND W. IZWOSCHIKOW, *Bioch. Z.*, **228**, σ. 329, 1930.
9. P. KÖNIG, *Z. Unt. d. Lebensm.*, **62**, σ. 87, 1931.
10. G. ILYIN, *Bull. Inst. Krasnodar*, **57**, 1929.
11. E. CHUARD ET R. MELLET, *C. R. Ac. Sc.*, **155**, σ. 293, 1912.
12. H. RASMUSSEN, *Bioc. Z.*, **69**, σ. 461, 1915.
13. G. PARIS, *Le Stat. Sper. Agr. Ital.* **53**, 1920.
14. I. THERON AND I. CUTLER, *Chem. News*, **130**, σ. 327, 1925.
15. G. KLEIN UND F. HERNDLHOFER, *Öster. Botan. Z.*, **76**, σ. 222, 1927.
16. K. MOTHES, *Planta*, **5**, σ. 564, 1928.
17. A. SMIRNOW und Mitarbeiter, *Planta*, **6**, σ. 687, 1928.
18. S. ROSENTHALER, *Apoth. Z.*, **44**, σ. 1433, 1929.
19. I. CHAZE, *Annal. Botan.*, 10<sup>η</sup> Σειρά, **14**, 1932.

**ΑΣΤΡΟΝΟΜΙΑ.—'Η όλική ἔκλειψις τοῦ ἡλίου τῆς 19ης Ιουνίου 1936\*.**

Παρατηρήσεις ἐπὶ τοῦ γηίνου μαγνητισμοῦ, παλιρροίας καὶ ρευμάτων, ὑπὸ

**A. Χρυσάνθη.** Ἀνεκοινώθη ὑπὸ κ. K. Μαλτέζου.

Πρὸς παρακολούθησιν τῶν ἀποτελεσμάτων ἐπηρείας τοῦ φαινομένου τῆς ὅλικῆς ἔκλειψεως τοῦ ἡλίου τῆς 19-6-36 ἐπὶ τοῦ γηίνου μαγνητισμοῦ, τῆς παλλιρροίας καὶ ρευμάτων κατηρτίσθησαν ὑπὸ τῆς Ὑδρογραφικῆς Ὑπηρεσίας B. N. ἐνεργούσης κατὰ τὸν προορισμόν της καὶ τῇ ἐντολῇ τῆς Γεωδαιτικῆς τοῦ Κράτους ἐπιτροπῆς, εἰδικὰ παρατηρητήρια κατὰ τὴν περίοδον τοῦ φαινομένου, ἐκτὸς τῶν ἐν συνεχεῖ λειτουργίᾳ τοιούτων ἦτοι: Μαγνητικοῦ Σταθμοῦ Τατοῖου καὶ παλιρροιογράφων Χίου, Καβάλλας, Θεσσαλονίκης, Βόλου, Χαλκίδος, Πειραιῶς, Ποσειδωνίας (Ίσθμοῦ), Πατρῶν, Πρεβέζης καὶ Καλαμῶν.

Οὕτω Α'.—Διὰ τὴν παρακολούθησιν τοῦ γηίνου μαγνητισμοῦ ἐλειτούργησαν παρατηρητήρια εἰς τὰς ἔξης θέσεις:

1.—Εἰς Τατοῖον ( $\varphi=38^{\circ} 06' 04'', \lambda=23^{\circ} 46' 25'', \delta=67'$ ) ἐν συνεχείᾳ ἐπὶ 2 ἡμέρας ἀπὸ 18,5 ὥρ. τῆς 18-6-36 ἔως 16 ὥρ. τῆς 20-6-36 καὶ διὰ τοῦ προτύπου Μαγνητοθεοδολίχου Sartorius ἐλήφθησαν ἀπόλυτοι τιμαὶ τῆς ἀποκλίσεως ἀνὰ ὥραν πρὸς ἐπιβεβαίωσιν καὶ ἔλεγχον τοῦ συνεχῶς λειτουργοῦντος αὐτογραφικοῦ δργάνου.

2.—Παρὰ τὸν φάρον Ζούρβας νήσου "Ὑδρας" ( $\varphi=37^{\circ} 21' 50'', \lambda=23^{\circ} 35' 00''$ ) ἐπὶ τῆς ζώνης ὅλι-

\* A. CHRYSANTHI.—L'éclipse totale du soleil du 19 Juin 1936.